

Tabelle B.59: Kommentare AG5

Aussage: »Arbeit ist ein Gut, das Leute anbieten und Unternehmen nachfragen«

Nr. Kommentar

- 1 Die Nachfrage an Arbeitskräften ist ansteigend. Leider ist die Kluft zwischen Qualifikation, Arbeitsanforderung, Gehalt mitunter sehr groß.

7.3 Technischer Anhang zur Feldbeobachtung

Im Folgenden aufgelistet sieht man die datenschutzform abgeänderte Herleitung der Modellgleichungen, die in der im Fall geschilderten Situation gezeigt wurden:

- N Dokumente
- M Status
- Zeit t
- In jedem Status befindet sich zum Zeitpunkt t_i eine gewisse Anzahl Dokumente.
- Bei jedem Wechsel von t_i auf t_{i+1} (jeden Tag, jede KW z.B.) wechselt eine gewisse Anzahl von Dokumenten den Status.
- Die Validierungsdurchlaufhäufigkeit steigert die Anzahl der Dokumente, die progressiv den Status wechseln.

Abbildung C.1: Erklärung der Variablen der Modellwelt

- N Dokumente seien am Tag in den nächsten Prozessschritt zu bringen.
- I Validierungssprozessdurchläufe finden pro Tag statt.
- Wahrscheinlichkeit p dafür, dass ein Dokument nach dem jeweiligen Validierungsdurchlauf erneut durch den Validierungsprozess muss.
- Erwartete Anzahl weitergereichter Dokumente pro Tag N_e :

$$N_e = N * (1 - p^I)$$

Abbildung C.2: Modellierung der täglich in den nächsten Prozessschritt gereichten Dokumente

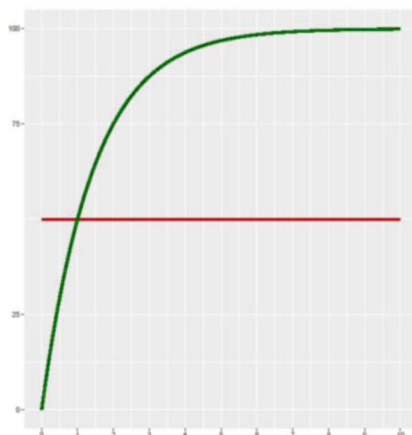


Abbildung C.3: Diagramm mit Beispieldaten für die täglich erfolgreich verarbeiteten Dokumente. y-Achse: Zahl der erfolgreich importierten Dokumente pro Tag; x-Achse: Zahl der täglichen Validierungsprozessdurchläufe. Die rote Linie zeigt den Status quo für eine auf den Wert 1 fixierte Anzahl der täglichen Validierungsprozessdurchläufe

- Wie viele Tage braucht man um eine gewisse Zahl Dokumente in den nächsten Prozessschritt zu bringen?
- N_{t_0} Dokumente seien von Tag t_0 im Validierungsprozess zu verarbeiten.
- N_t ist die Zahl zu validierender Dokumente zum Zeitpunkt t .

$$N_t = N_{t-1} - N_{t-1} * (1 - p^t)$$

\downarrow
Zu validierende Dokumente zum Zeitpunkt t

\downarrow
Erfolgreich validierte Dokumente zum Zeitpunkt $t-1$

Abbildung C.4: Herleitung der Modellgleichung für die zentrale Kurvendarstellung des exponentiellen Zerfallsprozesses in Abbildung 1.3 oben